

I-34 基礎杭に関する動的実験(続報)

金沢大学工学部 ○保田 市兵衛 西田 義親
石川県土木部 松田正, 熊谷組 竜田泰雄, 飛島土木KK 竹生孝之

基礎杭支持力に関する動力学的公式は、従来幾多発表されているが、未だこれらについて十分な検討がなされていとはいいがたい。又多くの公式は実験的裏付少を欠いている。そこで我々は、動力学的公式に対する基本的検討を目的として、杭に衝撃を加えて打込み時の杭自身に生ずる応力を測定して、杭の動的支持力およびそれと静的支持力との関連性などについて若干の検討を行つたのでここに報告する。

1. 実験装置および方法

内法 $10'' \times 10''$ の木箱は、密度 1.5 倍、内部摩擦角 35° の乾燥砂をつめ、模型杭として、找査アルダイト ($E = 13,000 \text{ kg/cm}^2$)、長さ $57''$ 、直徑 $34''$ を用い、杭の両側面に電気抵抗線ヒズミ測定用ゲージを、間隔 $11''$ 、12 12枚貼布した。

実験は重錘 $225\text{kg}, 5\text{kg}, 10\text{kg}$ を、それを以て落下高 $2.5'', 5'', 10'', 20''$ から落下させ、おののの打撃時にあける杭のヒズミを、Strain meter を通して、オシログラフに記録し、杭内に生ずる応力を測定した。なお杭内に生ずる応力の測定は、杭の種々断面で行う予定であるが、現在杭先および杭先より $22''$ 上方の断面(ほぼ杭長の中央)の二つの断面について終っている。

2. 実験結果

i) ヒズミ形状； オシロペーパーに表われた重錘打撃によって杭に生ずるヒズミ振幅は、杭先と $\varnothing 2\text{II}$ 断面(杭先より $22''$ 上方)とでは、図-1 に示すように、異った振動型を示した。これらのヒズミ形状は、次のようによく解釈される。

図示の P なる変形は、重錘衝撃瞬間、杭自身の弾性変形により生ずる振動ヒズミであり、換言すれば、杭内部で消費される損失エネルギーに相当するものである。

又 M は、衝撃で与えられた動的エネルギーにより、杭が砂中に貫入しつつある時、杭先に生ずる圧縮ヒズミである。換言すれば、これは杭先支持力を表すものである。従って、杭先より離れた $\varnothing 2\text{II}$ 断面では、この M は表されてこない。このことは、貫入時の圧縮ヒズミの及ぶ範囲が、杭先附近一部に限られていることを示すのである。静荷重載荷の際のヒズミは、当然直線でペーパーに表われる。この載荷試験前の打撃打込み終了時では、杭に相当の残留応力が生じていることが観察された。

ii) 打込み深さと応力(P, M) の関係について； P, M 共に、与えられた衝撃エネルギーが大きい程大きく表われることは当然である。しかし、 P は打込み深さに比例して増大していくのに対し、 M は最初のうちには(約 $25''$)、深さに比例して増大するが、ある程度打込まれると、その後は一定になっていく。前述のとく、 P は、杭の弾性変形による損失エネルギーを代表するものと考えられ、従来古くから、動力学的公式の問題点となつてゐるが、この点の究明に、少年からぬ成果が得られた。

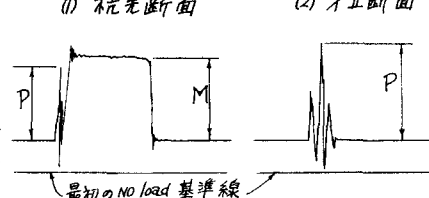


図-1

iii) P_M について； 図-2において、 P_M の値は、打込み深さ 20cm 以上では、加える衝撃エネルギー条件の如何によらず、ほぼ 0.7~1.0 の間にきて一定となる。概していえば、同じエネルギー量を与える場合、重い重錘を小さい落下高から落した方が、 P_M の値は小さくなり、より打込み効率がよいといえるようである。

$$iv) \gamma = \frac{0.8A}{WH} \text{ について；}$$

図-3は、与えられた打撃エネルギーの何割が杭先貫入エネルギーとして使われているかを示すものである。 $\gamma = \frac{0.8A}{WH}$ であり、式中 A；貫入量、 A ；断面積、W；重錘重量、H；落下高、を表わす。換算すれば、(1-γ)はガイド棒と重錘との摩擦、熱および杭の弾性変形などによる損失エネルギーと杭周摩擦により使われるエネルギーとの和である。図-3より、重錘重量が小さい程、杭先貫入に使用されるエネルギーの割合は小さくなることがわかる。もし(1-γ)のうち、杭の側面摩擦以外を、重錘重量、落下高に無関係に一定と仮定すると、ある打込み深さ(その深さは重錘重量の大きさにより異る)以後は一定値になることから、杭周摩擦による抵抗は、杭の根入長に比例しないと考えるのが妥当であろう。又、動的貫入時の杭周摩擦抵抗は、地盤および杭表面の性質だけではなく、打込み条件(WやHの組合せ)にも関係があることがわかる。

v) $\%l$ について； 図-4において、前述の事柄がより明確に表われている。Qは(1-γ)即ち動的摩擦抵抗と損失エネルギーとの和を表わしたもので、lは根入長である。よって $\%l$ は、平均摩擦抵抗を表わす因子といつてよい。図より明らかのように、 $\%l$ はある打込み深さまで増大するが、ある深さでピーカーを達すると、以下は深さと共に減少する。即ち、摩擦抵抗は、動的貫入時では根入長に比例しないことことが出来る。

vi) β/M について； Mは、動的試験最終打込み時のヒズミ即ち杭を打込んだ時の杭先の動的支持力を表わす Factor であり、 β は同じ深さでの静的載荷試験で、極限支持荷重をここで、杭が沈下する時のヒズミである。よって、図-5は、 β/M 即ち静的支持力と動的支持力の比を表わすもので、たゞにありて二の値は 1.0~1.5 となり、静的支持力の方が大きくなっている。

最後に、二の研究の費用は、文部省科学研究費(昭和34年)によるものである。

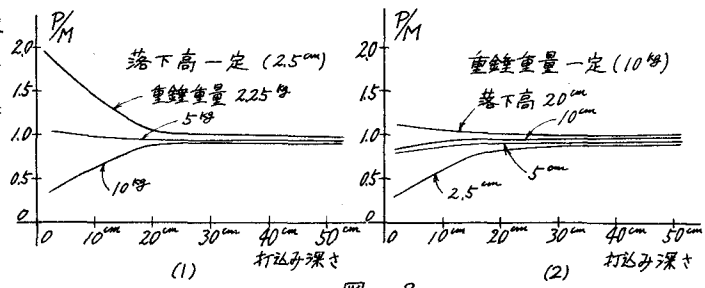


図-2

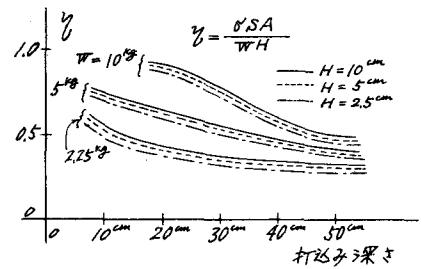


図-3

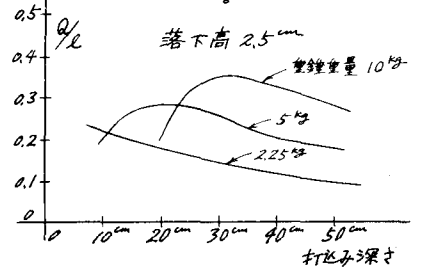


図-4

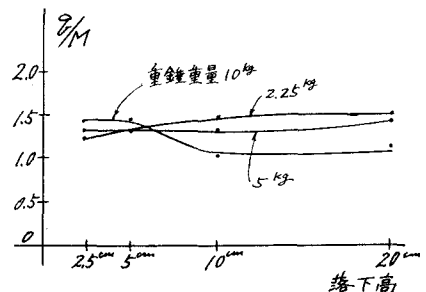


図-5